

И. И. ГУСЕВ

ТЕОРЕТИЧЕСКОЕ ИССЛЕДОВАНИЕ СТРУКТУРЫ ПОГРАНИЧНОГО СЛОЯ НА ДИАФРАГМЕ ВИХРЕВОЙ ТРУБЫ

Одним из путей увеличения эффективности вихревой трубы является устранение эффекта помешивания в холодный поток теплого пограничного слоя, текущего по торцевой плоскости диафрагмы.

Экспериментальная установка и экспериментальная часть настоящего исследования описаны в предыдущей статье*. Известно, что при вводе сжатого воздуха через тангенциальные сопловые входы в трубе образуется интенсивный вихрь. Если отношение давлений сжатого воздуха перед соплом P_1 и на осп вихря P_0

$$\frac{P_1}{P_0} \leq 4,15, \quad (1)$$

то, согласно гипотезе взаимодействия вихрей [1], по всему сечению поток имеет закон вращения твердого тела, т. е. закон постоянства угловой скорости

$$\omega = \text{const}. \quad (2)$$

При этом радиальный градиент давления и центробежная сила взаимно уравновешиваются, что соответствует соотношению

$$\frac{1}{\rho} \frac{d\rho}{dr} = \frac{v^2}{r}. \quad (3)$$

Для частиц пограничного слоя азимутальная скорость понижена вследствие торможения силами вязкости, поэтому здесь центробежная сила значительно уменьшается, между тем как положительный радиальный градиент давления остается таким же, как

* См. статью А. П. Меркулова, Г. В. Филиппова, И. И. Гусева. О влиянии пограничного слоя на температуру холодного потока вихревой трубы. Настоящий сборник, стр. 95.

и на большом расстоянии от диафрагмы. В результате вблизи диафрагмы возникает радиальное течение, направленное к оси. Если предположить, что в пограничном слое на диафрагме энергетическое разделение потока отсутствует полностью или частично, то радиальное течение приводит к подмешиванию пограничного слоя к холодному потоку и подогреву последнего. Таким образом, для оценки температурного влияния пограничного слоя на холодный поток необходимо определить расход воздуха через пограничный слой в радиальном направлении для различных режимов работы вихревой трубы.

Газодинамическое исследование структуры пограничного слоя на диафрагме сводилось к определению главных векторов скорости и толщины пограничного слоя для различных значений давления воздуха на входе в вихревую трубу на различных радиусах диафрагмы. Экспериментально установленные пределы изменения скорости и температуры по толщине пограничного слоя позволяли принять условия несжимаемости и изотермичности потока при теоретическом решении задачи. Для теоретического решения воспользуемся уравнением Навье-Стокса и уравнением сохранения массы. В векторной форме эти уравнения записываются в следующем виде:

$$\rho \frac{d\vec{v}}{dt} = \rho \vec{F} - \text{grad } P + \mu \nabla^2 \vec{v} + \frac{1}{3} \mu \text{grad div } \vec{v}$$

$$\frac{d\rho}{dt} + \rho \text{div } \vec{v} = 0, \quad (4)$$

Поскольку задача связана с осесимметричным вихревым потоком, аналитическое исследование пограничного слоя целесообразно проводить в цилиндрических координатах. Имея в виду осевую симметрию вихревого потока, опустим производные по азимутальному направлению, а также, пользуясь обычными допущениями теории пограничного слоя, из всех членов, зависящих от вязкости, сохраним лишь те, которые представляют производные по направлению нормали к плоскости диафрагмы.

В результате получим:

$$V_r \frac{\partial v_r}{\partial r} - \frac{V_{\theta}^2}{r} + V_z \frac{\partial v_r}{\partial z} = \nu \frac{\partial^2 v_r}{\partial z^2} - \frac{1}{z} \frac{\partial \rho}{\partial r},$$

$$V_r \frac{\partial V_{\theta}}{\partial r} + \frac{V_r V_{\theta}}{r} + V_z \frac{\partial V_{\theta}}{\partial z} = \nu \frac{\partial^2 V_{\theta}}{\partial z^2}, \quad (5)$$

$$V_r \frac{\partial v_z}{\partial r} + V_z \frac{\partial v_z}{\partial z} = -\frac{1}{z} \frac{\partial \rho}{\partial z} + \nu \frac{\partial^2 v_z}{\partial z^2},$$

$$\frac{\partial v_r}{\partial r} + \frac{V_r}{r} + \frac{\partial v_z}{\partial z} = 0,$$

В уравнениях (5) r , θ , z — цилиндрические координаты v_r , v_{θ} , v_z , соответствующие скорости в радиальном, азимутальном и осевом направлениях.

Если в первом уравнении системы (5) откинуть члены, зависящие от вязкости, и положить $v_r = 0$, $v_\theta = \omega \cdot r$, $v_z = 0$, т. е. рассмотреть движение потока вне пограничного слоя, то получим:

$$\frac{\partial p}{\partial r} = \rho \frac{v_\theta^2}{r} = \rho \omega^2 r \quad p = \frac{1}{2} \rho \omega^2 r^2. \quad (6)$$

Исследования турбулентного пограничного слоя на стенке замкнутого кожуха, проведенные Шульцем — Грионовым [3], показали, что параболическое распределение давления хорошо оправдывается.

Дальнейшие преобразования системы (5) при граничных условиях

$$\begin{aligned} v_r = 0, \quad v_\theta = 0, \quad v_z = 0 \quad \text{при } z = 0 \\ v_r = 0, \quad v_\theta = \omega r, \quad \quad \quad \text{при } z = \delta \end{aligned} \quad (7)$$

приводят к уравнению количества движения и уравнению момента количества движения

$$\frac{\partial}{\partial z} \left(r \int_0^\delta v_r^2 dz \right) - \int_0^\delta v_\theta^2 dz = -\nu r \left(\frac{\partial v_r}{\partial z} \right)_{z=0} - r \frac{1}{2} \int_0^\delta \frac{\partial p}{\partial r} dz, \quad (8)$$

$$\frac{\partial}{\partial z} \left(r^2 \int_0^\delta v_r v_\theta dz \right) - r^2 \omega \frac{\partial}{\partial r} \left(r \int_0^\delta v_r dz \right) = -\nu r^2 \left(\frac{\partial v_\theta}{\partial z} \right)_{z=0}. \quad (9)$$

Имея в виду экспериментальные профили радиальной и азимутальной скорости

$$\begin{aligned} v_r = 1,54 \cdot v_{r \max} \left(\frac{z}{\delta} \right)^{\frac{1}{7}} \cdot \left(1 - \frac{z}{\delta} \right), \\ v_\theta = v_{\theta \max} \left(\frac{z}{\delta} \right)^{\frac{1}{7}} \end{aligned} \quad (10)$$

и уравнения (8) и (9), можно вычислить ряд интегралов

$$\begin{aligned} \int_0^\delta v_r \cdot dz = 0,630 v_{r \max} \cdot \delta \quad \int_0^\delta v_r^2 dz = 0,409 v_{r \max}^2 \cdot \delta \\ \int_0^\delta v_\theta^2 dz = 0,778 \cdot r^2 \omega^2 \cdot \delta \quad \int_0^\delta v_r \cdot v_\theta dz = 0,525 v_{r \max} \cdot r \cdot \omega \cdot \delta. \end{aligned} \quad (11)$$

Используя известные выражения для касательных напряжений турбулентного пограничного слоя

$$\tau_r = 0,0225 \rho \left(\frac{\nu}{\delta} \right)^{\frac{1}{4}} (r\omega)^{\frac{3}{4}} \cdot v_{r \max} \left(\frac{v_{r \max}^2}{r^2 \omega^2} + 1 \right)^{\frac{3}{8}}. \quad (12)$$

и пренебрегая величиной

$$\frac{v_{r\max}^2}{r^2\omega^2} \ll 1,$$

после подстановки (11) и (12) в (8) и (9) получим систему дифференциальных уравнений

$$0,409 (\delta \cdot v_{r\max}^2 \cdot r)' - 0,778 r^2 \omega^2 \delta + r^2 \omega^2 \delta = 0,0225 \left(\frac{v}{b}\right)^{\frac{1}{2}} \cdot v_{r\max} \cdot r^{\frac{7}{4}} \omega^{\frac{3}{4}} \quad (13)$$

$$0,525 \omega (r^2 \delta v_{r\max})' - 0,630 \cdot r^{\frac{1}{2}} \omega (r \cdot \delta \cdot v_{r\max})' = 0,0225 \left(\frac{v}{b}\right)^{\frac{1}{2}} \cdot r^{\frac{15}{4}} \cdot \omega^{\frac{7}{4}},$$

Для упрощения решения системы (13) введем следующие обозначения

$$\Phi = v_{r\max} \cdot \delta; \quad x = \frac{b-r}{b}; \quad d = \delta^{\frac{1}{2}}, \quad (14)$$

где b — радиус вихревой трубы;

r — текущий радиус;

δ — толщина пограничного слоя.

После подстановки (14) в (13) уравнения (13) принимают вид:

$$\begin{aligned} \Phi^2 d + 4(1-x)\Phi^2 d' - 2\Phi\Phi' \cdot d(1-x) + 0,452b^2\omega^2(1-x)^2 d^9 = \\ = 0,046\omega^{\frac{3}{4}} v^{\frac{1}{4}} b^{\frac{7}{4}} \Phi \left(1 - \frac{7}{4}x + \frac{21}{32}x^2 - \frac{21}{384}x^3\right), \end{aligned} \quad (15)$$

$$\Phi \cdot d + 0,111(1-x)\Phi' \cdot d = 0,024 v^{\frac{1}{4}} b^{\frac{3}{4}} \omega^{\frac{3}{4}} \left(1 - \frac{7}{4}x + \frac{21}{32}x^2 - \frac{21}{384}x^3\right).$$

Ищем решение системы (15) в виде степенных рядов

$$\Phi = x^{\frac{9}{10}} (c_0 + c_1 x + c_2 x^2 + \dots), \quad (16)$$

$$d = x^{\frac{1}{10}} (d_0 + d_1 x + d_2 x^2 + \dots).$$

После подстановки (16) в (15) и выполнения ряда несложных преобразований решение системы (15) получим в виде:

$$\Phi = x^{\frac{9}{10}} \omega^{\frac{1}{5}} v^{\frac{1}{5}} b^{\frac{8}{5}} (0,282 - 1,270x + 1,610x^2),$$

$$d = x^{\frac{1}{10}} \left(\frac{v}{m}\right)^{\frac{1}{20}} b^{\frac{3}{20}} (0,852 - 1,090x + 1,580x^2). \quad (17)$$

Исследование пограничного слоя на диафрагме вихревой трубы проведено для значений $x = 0,5; 0,4; 0,3; 0,2$; при постоянном давлении воздуха перед соплом $P = 1,26 \text{ ата}$, а также для постоянного значения $x = 0,4$ и переменном давлении сжатого воздуха перед соплом $P = 1,51; 1,38; 1,30; 1,20; 1,15 \text{ ата}$.

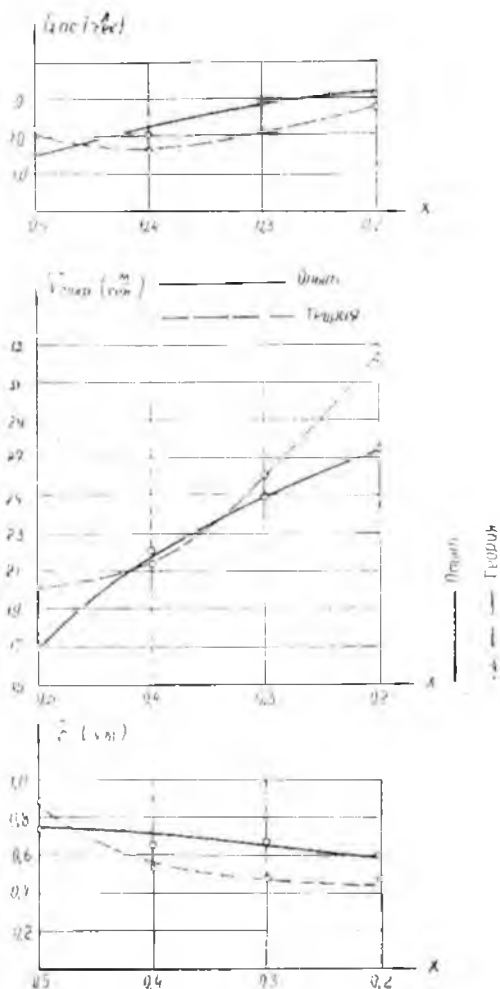
На фиг. 1 приводится сравнение теории с экспериментом.

ВЫВОДЫ

1. В предлагаемой работе сделана попытка теоретического решения поставленной задачи.

Как показало проведенное исследование, наибольшая расхожимость теории с экспериментом отмечается в точках, лежащих вблизи отверстия диафрагмы, а также в точках, ближайших к периферии трубы. Это можно объяснить конечным числом сопел и наличием отверстия диафрагмы. Кроме того, принятые условия изотермичности и несжимаемости пограничного слоя вносят некоторую погрешность в решение задачи.

2. Несмотря на ряд недостатков полученного решения, оно может найти практическое применение при анализе работы вихревой трубы и при уточнении ее теоретических характеристик. Как показали эксперименты, отвод пограничного слоя с диафрагмы позволяет на 15—20% увеличить эффективность работы вихревой трубы.



Фиг. 1.

3. Необходимы дальнейшие экспериментальные и теоретические исследования для расширения области расчета пограничного слоя диафрагмы на большие перепады давления в вихре с целью приближения их к рабочему диапазону вихревой трубы.

ЛИТЕРАТУРА

1. А. П. Меркулов. Теоретические основы вихревого эффекта. Труды конференции по перспективам развития и внедрения холодильной техники в народное хозяйство СССР. Госторгиздат, 1963.

2. Г. Шанхтинг. Теория пограничного слоя. Издательство иностранной литературы, Москва, 1956.

3. Schlicht-Grupow F. Der Reibungswiderstand rotierenden Scheiben in Gehäusen, ZAMM, 15 (1935).